

STUDI TRANSFORMASI GELOMBANG TERHADAP PERUBAHAN GARIS PANTAI BEO BARAT KABUPATEN KEPULAUAN TALAUD

Satria Putra Tawoeda

Hanjse.J Tawas, Fuad Halim

Fakultas Teknik Jurusan Sipil Universitas Sam Ratulangi Manado

Email: satriatawoeda@gmail.com

ABSTRAK

Pantai Beo Barat sangat memberi pengaruh besar sebagai penghubung antara kecamatan beo dan ibu kota kabupaten melonguane. Berdasarkan pengamatan di lapangan ternyata telah mengalami pengunduran garis pantai dan kerusakan pada daerah pesisir pantai. Hal ini diakibatkan oleh proses dinamika pantai seperti abrasi yang berdampak buruk terhadap keadaan keseimbangan sekitar pantai ini.. Oleh sebab itu dalam pengembangan dan pengamanan daerah pesisir serta perlindungan penduduk maka perlu mengetahui karakteristik gelombang yang terjadi di pantai tersebut.

Dalam penelitian ini perlu dilakukan analisis transformasi gelombang dan permodelan garis pantai yang terjadi di kawasan pantai Beo Barat. Peramalan gelombang dihitung dengan metode hindcasting gelombang berdasarkan data angin selama 10 tahun dari stasiun BMG Maritim Bitung untuk mendapatkan tinggi dan periode gelombang signifikan.

Dari hasil perhitungan gelombang di perairan Beo Barat didominasi oleh gelombang arah Barat Daya dengan gelombang maksimum terjadi pada bulan Agustus 2005 dengan $H = 1.6747\text{ m}$ dan $T = 4.9629\text{ det}$. Koefisien refraksi yang terjadi berkisar antara 0.8513 sampai 1.0004 dan koefisien shoaling yang terjadi berkisar pada 0.6453 sampai 1.5463. Tinggi gelombang yang didapat dari hasil perhitungan berkisar pada 0.2889 sampai 2.0315 m pada kedalaman 0.5 m sampai 25 m. Dari model perhitungan perubahan garis pantai, erosi terjadi dengan kisaran antara 2 – 5 m/tahun.

Kata kunci: Pantai Beo Barat, karakteristik gelombang, refraksi, shoaling, gelombang pecah, garis pantai.

PENDAHULUAN

Latar Belakang

Pantai adalah daerah pertemuan antara darat, laut dan udara dimana terjadi interaksi dinamis antara air, angin (atmosfer), dan material penyusun didalamnya. Hal ini menyebabkan pantai rentan terhadap kerusakan. Energi gelombang laut biasanya dibangkitkan oleh banyak hal, misalnya oleh angin, pasang-surut, arus, dll. Ketika gelombang datang menghantam pantai, gelombang tersebut akan mengalami perubahan bentuk yang menyebabkan tinggi gelombang tidak menentu yang akhirnya gelombang tersebut pecah dan melepaskan energinya yang mengakibatkan daerah pesisir rentan terhadap perubahan bentuk.

Kabupaten Kepulauan Talaud adalah salah satu kabupaten di Provinsi Sulawesi Utara. Terdapat tiga pulau utama di

Kabupaten Kepulauan Talaud, yaitu Pulau Karakelang, Pulau Salibabu, dan Pulau Kabaruan. Pulau Karakelang merupakan pulau terbesar dan dipulau ini terdapat kota melonguane yang merupakan ibu kota kabupaten. Selain kota melonguane, ada juga kecamatan beo yang menjadi penopang aktivitas dipulau setelah kota melonguane. Hampir semua jalan raya dipulau karakelang dan sekitarnya berada didekat pantai. Sehubung dengan peran yang penting ini dan letak yang berada dipesisir pantai, maka daerah-daerah yang menjadi akses masuk kecamatan beo sangat perlu diperhatikan keadaan pantainya, karena merupakan jalan penghubung.

Rumusan Masalah

Berdasarkan pengamatan dan wawancara terhadap penduduk sekitar pantai Kelurahan Beo Barat, Diduga pantai tersebut telah mengalami :

1. Perubahan garis pantai akibat adanya transformasi gelombang.
 2. Transformasi gelombang yang mengakibatkan abrasi atau erosi, dan angkutan sedimen.

Batasan Masalah

Pada penulisan skripsi ini masalah dibatasi pada :

- Analisis hanya dilakukan di Pantai Kelurahan Beo barat Kecamatan Beo, Kabupaten Talaud, Provinsi Sulawesi Utara.
 - Tinjauan hanya pada gelombang.
 - Transformasi gelombang ditinjau hanya pada laut dangkal.
 - Tinggi dan periode gelombang diperoleh berdasarkan pendekatan metode *hindcasting* gelombang.
 - Gelombang yang ditinjau tidak dipengaruh sungai sekitar.

Tujuan Penelitian.

Tujuan penelitian ini adalah untuk menganalisis dampak Transformasi gelombang yang terjadi di lokasi penelitian secara analitis. Anatara lain :

1. Meramalkan tinggi dan periode gelombang pecah yang terjadi.
 2. Refraksi gelombang, dan shoaling (pendangkalan).
 3. Pengaruh transformasi gelombang terhadap perubahan garis pantai.

Manfaat Penelitian

1. Memperoleh pengetahuan mengenai teknik pantai khususnya dalam mempelajari transformasi gelombang dilaut dangkal.
 2. Memberikan informasi mengenai sifat-sifat gelombang dalam proses transformasi yang terjadi di lokasi penelitian.
 3. Mengetahui dampak transformasi gelombang terhadap kerusakan garis pantai.

LANDASAN TEORI

Pantai

Pantai adalah daerah pertemuan antara darat, laut dan udara dimana terjadi interaksi dinamis antara air, angin, dan material penyusun didalamnya. Dalam bidang teknik

pantai, ada dua istilah yang sering rancu pemakaiannya, yaitu pesisir (*coast*) dan pantai (*shore*). Pantai adalah daerah di tepi perairan yang dipengaruhi oleh air pasang tertinggi dan air surut terendah. Sedang pesisir adalah daerah darat di tepi laut yang masih mendapat pengaruh laut seperti pasang surut, angin laut dan perembesan air laut.

Gelombang

Gelombang dapat diklasifikasikan menjadi beberapa macam tergantung kepada gaya pembangkitan seperti angin (gelombang angin), gaya tarik menarik bumi-bulan-matahari (gelombang pasang-surut), gempa (vulkanik atau tektonik) di dasar laut (gelombang tsunami), ataupun gelombang yanug disebabkan oleh gerakan kapal. Gelombang yang sehari-hari terjadi dan diperhitungkan dalam bidang teknik pantai adalah gelombang angin dan pasang-surut (pasut). Hal ini karena gelombang tersebut dapat membentuk dan merusak pantai serta berpengaruh pada bangunan-bangunan pantai.

Hindcasting Gelombang

Hindcasting gelombang adalah teknik peramalan gelombang yang akan datang dengan menggunakan data angin dimasa lampau. *Hindcasting* gelombang akan mengasilkan perkiraan tinggi (H) dan periode (T) gelombang akibat adanya angin dengan besar, arah, dan durasi tertentu.

Fetch

Fetch adalah daerah pembangkit gelombang laut yang dibatasi oleh daratan yang mengelilingi laut tersebut. Daerah *fetch* adalah daerah dengan kecepatan angin konstan. Sedangkan jarak *fetch* merupakan jarak tanpa rintangan dimana angin sedang bertiup (Hutabarat dan Evans, 1984)

Arah *fetch* bisa datang dari segala arah, yang besarnya dapat dihitung sebagai berikut :

$$F_{\text{eff}} = \frac{\sum F \cos \alpha}{\sum \cos \alpha} \quad \dots \dots \dots \quad (1)$$

Dimana :

Dinamika :

F : Panjang segmen *fetch* yang diukur dari titik observasi gelombang ke ujung akhir *fetch*.

α : Deviasi pada kedua sisi dari arah angin. dengan menggunakan

pertambahan 6° sampai sudut sebesar 42° pada kedua sisi dari arah angin.

Arah Angin

Sebagai langkah awal dalam menganalisis data angin, hal yang harus diperhatikan adalah mendapatkan nilai *Wind Stress Factor* (U_A). Prosedur untuk mendapatkan *Wind Stress Factor* (U_A) adalah dengan melakukan koreksi – koreksi terhadap data angin yang kita miliki sebagai berikut :

❖ Koreksi Elevasi

Kecepatan angin yang digunakan adalah kecepatan angin yang diukur pada elevasi 10 meter. Jika data angin didapat dari pengukuran pada elevasi yang lain (misalnya y meter), maka dapat dikonversi dengan persamaan :

$$U_{(10)} = U(y) \left(\frac{10}{y}\right)^{\frac{1}{7}} \quad \dots \dots \dots (2)$$

Dimana : $U_{(10)}$ = Kecepatan angin pada ketinggian 10 m.

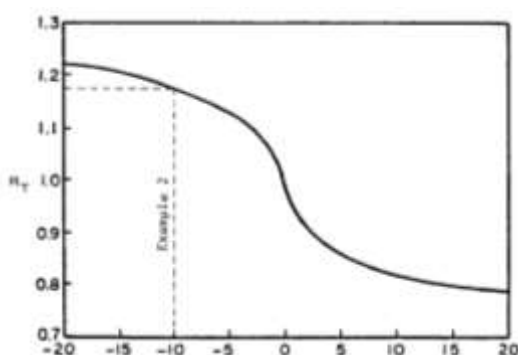
y = Ketinggian pengukuran angin ($y < 20$ m)

❖ Koreksi Stabilitas

Koreksi ini diperlukan, jika terdapat perbedaan temperatur antara udara dan air laut. Besarnya koreksi dilambangkan dengan R_T , dimana :

$$U = R_T \times U_{10} \quad \dots \dots \dots (3)$$

Jika tidak terdapat perbedaan data temperature, maka $R_T = 1.1$ (SPM'88, hal 3-30)



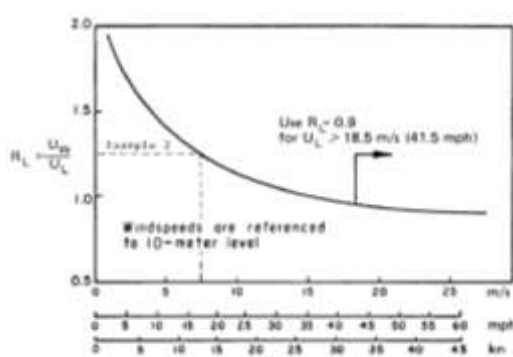
Gambar 1. Faktor koreksi beda suhu di laut dan di darat.

Sumber : SPM' 84

❖ Koreksi Lokasi Pengamatan

Jika data angin yang dimiliki adalah data angin pengukuran di darat, perlu dilakukan koreksi untuk mendapatkan nilai kecepatan di laut. Faktor koreksi dilambangkan dengan R_L , yang nilainya disajikan Gambar 2. Di dalam gambar tersebut, U_w adalah kecepatan angin di atas laut, sedangkan U_L adalah kecepatan angin di darat. Apabila data kecepatan angin disuatu perairan memerlukan penyesuaian atau koreksi terhadap elevasi, koreksi stabilitas dan efek lokasi maka dapat digunakan persamaan:

$$U = R_T \times R_L \times U_{10} \quad \dots \dots \dots (4)$$



Gambar 2. Hubungan antara kecepatan angin di laut dan di darat

Sumber : SPM'84

Pembentukan Gelombang di Laut Dalam

Peramalan gelombang di laut dalam dilakukan dengan metode SMB (Sverdrup Munk Bretschneider).

❖ Fetch limited

Open Water

$$t_{\text{fetch}} = 68.8 \frac{F^{\frac{2}{3}}}{\frac{1}{g^{\frac{1}{3}} U_A^{\frac{3}{2}}} \dots \dots \dots (5)}$$

Restricted Fetch

$$t_{\text{fetch}} = 51.09 \frac{F^{0.72}}{g^{0.28} U_A^{0.44}} \quad \dots \dots \dots (6)$$

❖ Open water

Duration Limited

$$H = 0.0000851 \left(\frac{U_A^2}{g} \right) \left(\frac{gt_i}{U_A} \right)^{\frac{5}{7}} \quad \dots \dots \dots (7)$$

$$T = 0.072 \left(\frac{U_A}{g} \right) \left(\frac{gt_i}{U_A} \right)^{0.411} \quad \dots \dots \dots (8)$$

Fetch Limited

$$H = 0.0016 \left(\frac{U_A^2}{g} \right) \left(\frac{gF}{U_A^2} \right)^{\frac{1}{2}} \quad \dots \dots \dots (9)$$

$$T = 0.2857 \left(\frac{U_A}{g} \right) \left(\frac{gF}{U_A^2} \right)^{\frac{1}{3}} \quad \dots \dots \dots (10)$$

◆ *Restricted fetch*

Duration Limited

$$H = 0.000103 \left(\frac{\hat{U}_A^2}{g} \right) \left(\frac{gt_i}{U_A} \right)^{0.69} \quad \dots \dots \dots (11)$$

$$T = 0.082 \left(\frac{\hat{U}_A}{g} \right) \left(\frac{gt_i}{U_A} \right)^{0.39} \quad \dots \dots \dots (12)$$

Fetch Limited

$$H = 0.0015 \left(\frac{\hat{U}_A^2}{g} \right) \left(\frac{gF}{U_A^2} \right)^{\frac{1}{2}} \quad \dots \dots \dots (13)$$

$$T = 0.3704 \left(\frac{\hat{U}_A}{g} \right) \left(\frac{gF}{U_A^2} \right)^{0.28} \quad \dots \dots \dots (14)$$

Kondisi gelombang *fully developed* apabila :

$$\frac{gH}{U_A^2} \geq 2.433 \cdot 10^{-4} \quad \dots \dots \dots (15)$$

$$\frac{gT}{U_A} \geq 7.15 \cdot 10^4 \quad \dots \dots \dots (17)$$

◆ Apabila kondisi *fully developed*

Open water

$$H_{fd} = 0.2433 \left(\frac{U_{(10)}^2}{g} \right) \quad \dots \dots \dots (18)$$

$$T_{fd} = 8.134 \left(\frac{U_{(10)}}{g} \right) \quad \dots \dots \dots (19)$$

Restricted fetch

$$H_{fd} = 0.2433 \left(\frac{\hat{U}_{10}^2}{g} \right) \quad \dots \dots \dots (20)$$

$$T_{fd} = 8.134 \left(\frac{\hat{U}_{(10)}}{g} \right) \quad \dots \dots \dots (21)$$

Sehingga :

$$H_o = H_{fd} \quad \dots \dots \dots (22)$$

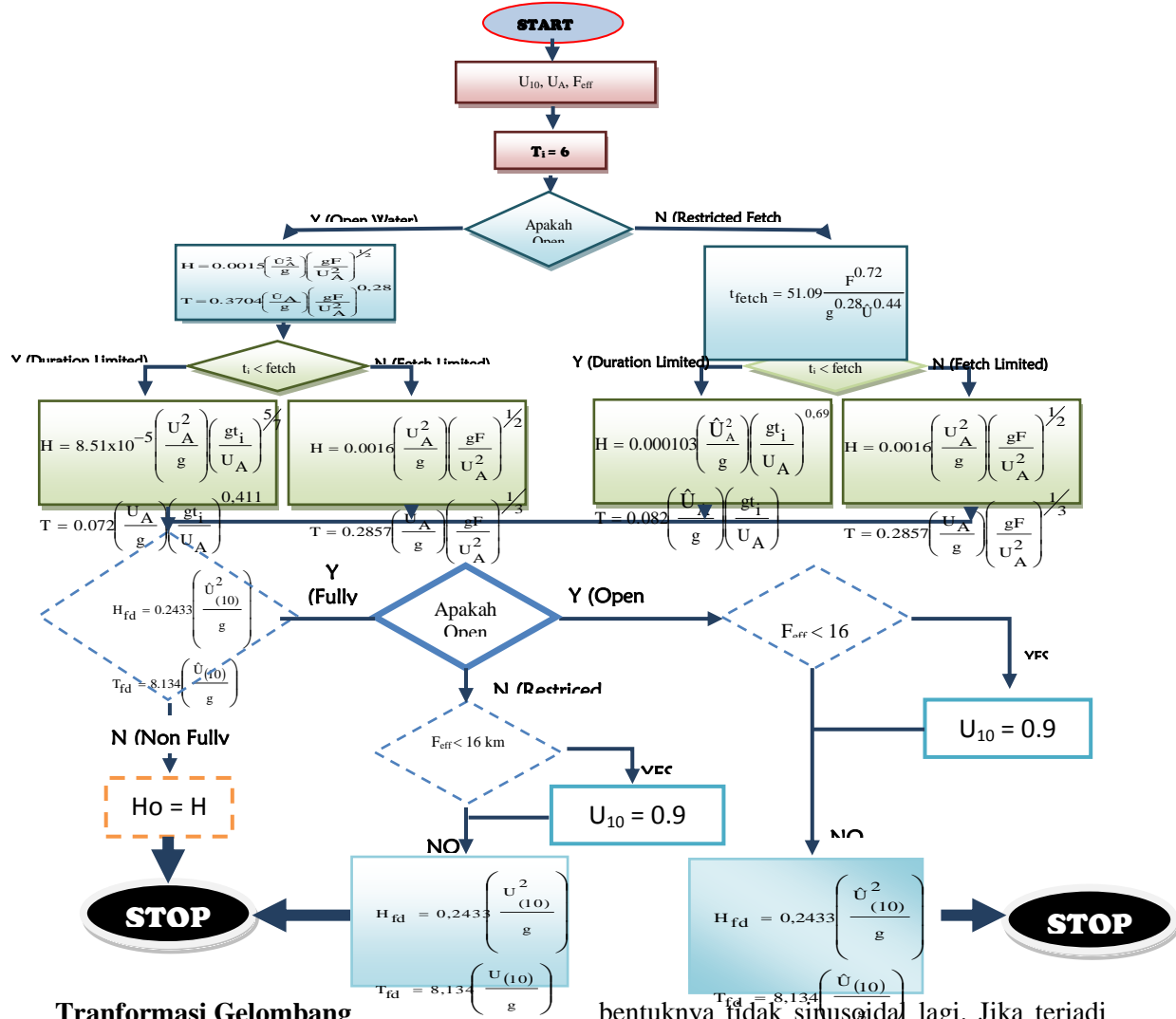
$$T_o = T_{fd} \quad \dots \dots \dots (23)$$

◆ Apabila kondisi gelombang *non fully developed* maka :

$$H_o = H \quad \dots \dots \dots (24)$$

$$T_o = T \quad \dots \dots \dots (25)$$

$$\frac{gT}{U_A} \geq 8.134 \quad \dots \dots \dots (16)$$



Transformasi Gelombang Proses Refraksi

Pengaruh perubahan kedalaman laut akan menyebabkan refraksi. Di laut dalam, daerah dimana kedalaman air lebih besar dari setengah panjang gelombang, gelombang menjalar tanpa dipengaruhi dasar laut.

Koefisien refraksi adalah :

$$K_r = \sqrt{\frac{b_o}{b}} = \sqrt{\frac{\cos\alpha_o}{\cos\alpha_i}} \quad \dots\dots\dots(26)$$

Pendangkalan Gelombang (Wave Shoaling)

Koefisien pendangkalan K_s merupakan fungsi panjang gelombang dan kedalaman air.

$$K_s = \sqrt{\frac{n_o \times C_o}{n_1 \times L_1}} \quad \dots\dots\dots(27)$$

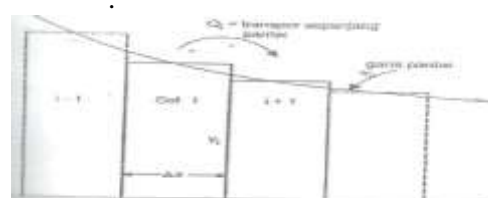
Gelombang Pecah

Gelombang pecah adalah suatu sistem yang sangat kompleks. Bahkan dalam beberapa jarak sebelum gelombang pecah,

bentuknya tidak sinusoidal lagi. Jika terjadi gelombang pecah, energi yang diterima dari angin, berkurang. Pecahnya gelombang biasanya terjadi pada saat gelombang mendekati pantai.

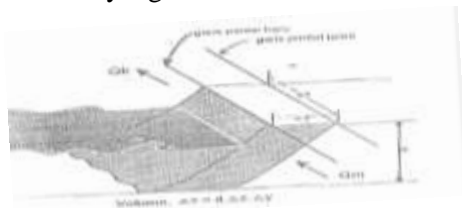
Model Perubahan Garis Pantai

Model perubahan garis pantai didasarkan pada persamaan kontinuitas sedimen. Untuk itu pantai dibagi menjadi sejumlah sel (ruas). Pada setiap ditinjau angkutan sedimen yang masuk dan keluar. Sesuai dengan hukum kekekalan massa, jumlah laju aliran massa netto didalam sel adalah sama dengan laju perubahan massa didalam sel tiap satuan waktu.



Gambar 3. Pembagian pantai dalam pias

Gambar 4 menunjukkan angkutan sedimen yang masuk dan keluar sel.



Gambar 4. Sedimen yang keluar masuk

Laju aliran massa sedimen netto didalam sel adalah :

$$M_n = \rho_s(Q_m - Q_k) = -\rho_s(Q_k - Q_m) = -\rho_s \Delta Q \dots (28)$$

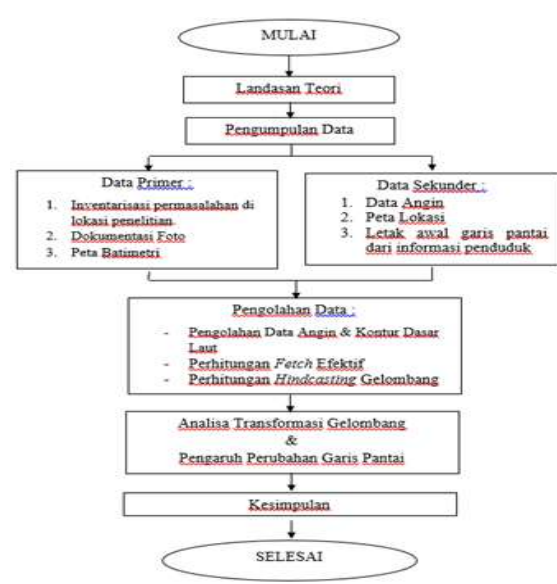
Laju perubahan massa (M_t):

$$M_t = \frac{\rho_s V}{\Delta t} \dots \dots \dots \quad (29)$$

Dengan menyamakan persamaan (28) dan (29) maka :

METODOLOGI PENELITIAN

Bagan Alir Penelitian :



HASIL DAN PEMBAHASAN

Analisa Data

Perhitungan Fetch Efektif
dilakukan dengan bantuan program Google Earth dan Autocad :

1. Menggunakan peta daerah perairan pantai Beo barat dan ditentukan arah angin sebagai titik pusat tinjauan. Garis arah angin utama ditentukan sebagai *central radial*.
 2. Dalam perhitungan ini dibuat sudut dari garis *central radial* ke arah kiri dan kanan garis *fetch* dengan interval 5° sampai 20° .
 3. Ukur *fetch* sampai menyentuh daratan atau batas akhir peta, kemudian kalikan dengan skala.



Gambar 5. Fetch

Perhitungan *Fetch* :

Arah Barat

- a) Panjang garis *fetch* untuk sudut 0° adalah 1066.73075 km (berdasarkan pengukuran menggunakan program AUTOCAD).

b) Nilai dari cosines 0° adalah 1, maka :

$$F \cos(\alpha) = 1066.73075 \times 1$$

$$= 1066.73075 \text{ Km}$$

c)

$$F_{eff} = \frac{\sum X_i \cos\alpha}{\sum X \cos\alpha}$$

$$F_{eff} = \frac{142.28 + 982.16 + \dots + 595.05}{0.940 + 0.966 + 0.985 + \dots + 0.940}$$

$$F_{eff} = 830.1673 \text{ Km}$$

Analisa Angin

Data angin yang dipergunakan dalam pekerjaan ini yaitu data angin dari BMKG Maritim Bitung dengan data maksimum harian dalam 10 tahun terakhir, yakni data angin pada tahun 2005-2014.

Data angin dinyatakan dalam satuan knot,
 $1 \text{ knot} = 1,852 \text{ km/jam} = 0,5144 \text{ m/d}$.

Perhitungan faktor tegangan angin

Perhitungan untuk mendapatkan nilai U_A (perhitungan pada bulan Januari tanggal 1 tahun 2014) :

1. Koreksi Terhadap Elevasi

Data angin diambil dari badan meteorologi maritim bitung yang diukur +18 m dari muka air laut.

$$U_{(10)} = U_{(z)} \left(\frac{10}{z} \right)^{\frac{1}{7}}$$

Dimana :

$$U_{(z)} = 6.8 \text{ m/d}$$

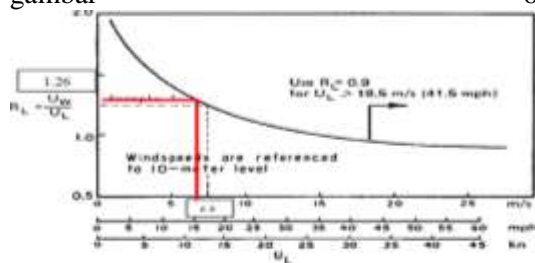
$$z = 18 \text{ m}$$

$$U_{(10)} = 6.8 \cdot \left(\frac{10}{18} \right)^{\frac{1}{7}}$$

$$U_{(10)} = 6.24 \text{ m/d}$$

2. Koreksi Terhadap Stabilitas dan Efek Lokasi

Karena tidak ada data perbedaan rata-rata suhu udara dan air laut, maka diambil $R_T = 1,13$ sedangkan nilai R_L bervariasi sesuai dengan kecepatan angin gambar 6.



Gambar 6. Pembacaan nilai R_L

$$U_A = R_T \cdot R_L \cdot U_{(10)}$$

dimana:

$$U_{(10)} = 6.8 \text{ m/det}$$

$$R_L = 1,26$$

$$R_T = 1,13$$

$$\text{Maka, } U_A = 8.65 \text{ m/det}$$

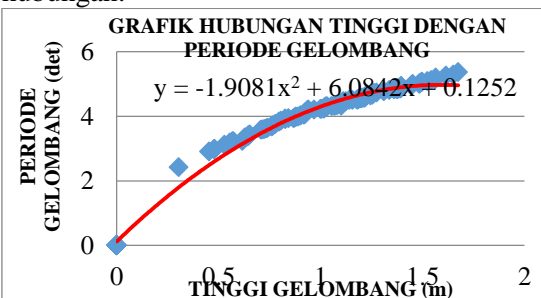
Peramalan Tinggi dan Periode Gelombang

Hindcasting gelombang dilakukan untuk setiap data angin maksimum harian selama 10 tahun. Dari hasil *hindcasting* ini disusun rekapitulasi tinggi, periode dan arah gelombang terbesar dan dominan bulanan dari tahun 2005 s/d 2014.

Tabel 1. Tabel rekapitulasi arah, tinggi dan periode gelombang dari masing – masing *fetch* berdasarkan *Hindcasting* Gelombang tahun 2005 – 2014.

No.	Bulan	H&T	Arah Datang Gelombang					Max Tiap Bulan		
			U	BL	B	BD	TL			
1	Januari	H (m)	0.0000	1.5243	0.4789	0.9191	0.0000	BL	1.5243	
		T (det)	0.0000	5.3600	2.9774	4.0598	0.0000		5.3600	
2	Februari	H (m)	0.0000	1.1050	0.0000	1.1025	0.0000	BL	1.1050	
		T (det)	0.0000	4.3666	0.0000	4.3620	0.0000		4.3666	
3	Maret	H (m)	0.0000	0.8679	0.9216	0.8748	1.6155	TL	1.6155	
		T (det)	0.0000	3.9095	4.0184	3.9235	5.1964		5.1964	
4	April	H (m)	0.0000	0.9411	0.9028	1.2059	0.0000	BD	1.2059	
		T (det)	0.0000	4.0571	3.9806	4.5449	0.0000		4.5449	
5	Mei	H (m)	0.0000	0.0000	1.2182	1.3614	0.0000	BD	1.3614	
		T (det)	0.0000	4.5662	4.8046	0.0000	0.0000		4.8046	
6	Juni	H (m)	0.0000	0.0000	0.0000	1.5612	0.0000	BD	1.5612	
		T (det)	0.0000	0.0000	0.0000	5.1155	0.0000		5.1155	
7	Juli	H (m)	0.0000	0.4545	1.1576	1.6747	0.0000	BD	1.6747	
		T (det)	0.0000	2.9068	4.4607	5.2826	0.0000		5.2826	
8	Agustus	H (m)	0.0000	0.0000	0.0000	1.6515	0.0000	BD	1.6515	
		T (det)	0.0000	0.0000	5.2489	0.0000	0.0000		5.2489	
9	September	H (m)	0.0000	0.0000	0.0000	1.4959	0.0000	BD	1.4959	
		T (det)	0.0000	0.0000	5.0614	0.0000	0.0000		5.0614	
10	Oktober	H (m)	0.0000	0.0000	0.0000	1.4844	0.0000	BD	1.4844	
		T (det)	0.0000	0.0000	4.9987	0.0000	0.0000		4.9987	
11	November	H (m)	0.0000	1.4523	0.8279	1.5650	0.5267	BD	1.5650	
		T (det)	0.0000	4.9489	3.8260	5.1213	3.1154		5.1213	
12	Desember	H (m)	1.3757	1.0201	0.9242	1.2740	0.0000	U	1.3757	
		T (det)	4.8276	4.7240	4.0236	4.6607	0.0000		4.8276	
Max Tiap Arah			H (m)	1.3757	1.5243	1.2182	1.6747	1.6747	BD	
			T (det)	4.8276	5.3600	4.5662	5.2826	5.2826	5.3600	

Untuk memperoleh periode gelombang maksimum berdasarkan perubahan kedalaman, dibuat hubungan antara tinggi gelombang maksimum dan periode gelombang maksimum untuk mendapatkan persamaan dari grafik hubungan.



Gambar 7 Hubungan Tinggi Dengan Periode Gelombang

grafik hubungan H dan T didapat persamaan :

$$y = -1,908x^2 + 6,0842x + 0,1252$$

Untuk arah Barat Daya :

$$H_o = 1,6747 \text{ m}$$

$$T_o = -1,908H_o^2 + 6,0842 \cdot H_o + 0,1252$$

$$= 4,9629 \text{ det}$$

a) Hitung panjang gelombang laut dalam dengan rumus :

$$L_o = 1,56 T^2 = 38,4236 \text{ m}$$

b) Hitung nilai α

$$d/L_o = 25/38,4236 = 0,65$$

Cari nilai d/L untuk nilai $d/L_o = 0,6500$

Tabel 2. Pembacaan Nilai d/L dan n

$\frac{d}{L_o}$	$\frac{d}{L}$	2nd dash	3rd dash	cos	K_s	K	4nd dash	5th dash	cos	n
0.6000	0.60003	3.7729	0.9969	21.743	21.786	0.997	0.0459	7.5477	948.2	0.5040
0.6100	0.61059	3.8363	0.9991	23.166	23.187	0.997	0.0431	7.6728	9074.3	0.5036
0.6200	0.62031	3.8988	0.9992	24.466	24.481	0.997	0.0403	7.7975	1217.3	0.5032
0.6300	0.63045	3.9613	0.9993	25.252	24.271	0.998	0.0381	7.9225	1379.3	0.5029
0.6400	0.64041	4.0238	0.9994	27.947	27.965	0.998	0.0358	8.0476	1563.1	0.5026
0.6500	0.65036	4.0863	0.9994	29.533	29.720	0.998	0.0336	8.1727	1771.8	0.5023
0.6600	0.66031	4.1489	0.9995	31.091	31.091	0.998	0.0316	8.2975	2007.7	0.5021
0.6700	0.67026	4.2114	0.9995	31.918	31.918	0.998	0.0296	8.4213	2253.6	0.5019

Untuk $d/L_o = 0,6500$ (ditabel lihat yang diberikan lingkaran orange), didapat nilai $d/L = 0,65036$, maka $L = 38,4402 \text{ m}$.

Cepat rambat gelombang :

$$C_o = L_o / T = 7,7421 \text{ m/det}$$

$$C = L / T = 7,7455 \text{ m/det}$$

$$\sin \alpha = \frac{C}{C_o} \sin \alpha_o = 0,7074$$

$$\alpha = 45,0252^\circ$$

Koefisien refraksi:

$$Kr = \sqrt{\frac{\cos \alpha_o}{\cos \alpha}}, \quad Kr = 1,0002$$

Tabel 3. Perhitungan Refraksi Untuk Potongan 1 Arah Barat Daya

a_o	d	H_o	T	L_o	d/L_o	d/L	L
45	25	1.6747	4.9629	38.4236	0.65	0.65036	38.4402
45.025	20	1.6709	4.9641	38.4414	0.52	0.52148	38.3524
44.893	15	1.6556	4.9681	38.5038	0.39	0.39546	37.9305
44.049	10	1.6017	4.9751	38.6132	0.26	0.27660	36.1533
40.616	5	1.4611	4.9414	38.0911	0.13	0.16657	30.0174
30.864	1	1.2537	4.7539	35.2549	0.03	0.07135	14.0154
11.768	0.5	1.3588	4.8694	36.9892	0.01	0.04032	12.4008

Tabel 3. Lanjutan

Kr	K_s	H	H_o'	H_o'/gT^2	m	Hb/H_o'	Hb
1.0002	0.9975	1.6709	1.6789	0.0069	0.0625	1.21	2.0315
0.9988	0.9920	1.6556	1.6844	0.0070	0.0526	1.15	1.9370
0.9928	0.9745	1.6017	1.6989	0.0070	0.0400	1.14	1.9368
0.9731	0.9375	1.4611	1.7084	0.0070	0.0286	1.03	1.7597
0.9404	0.9124	1.2537	1.6013	0.0067	0.0238	1.06	1.6974
0.9364	1.1575	1.3588	1.0831	0.0049	0.0133	1.14	1.2348
0.9906	1.2341	1.6612	1.1010	0.0047	0.0125	1.14	1.2551

Perhitungan Koefisien Shoaling

Koefisien pendangkalan :

$$K_s = \sqrt{\frac{n_o L_o}{n L}}$$

Dimana : n_o = (dilaut dalam) 0,5 ;

$L_o = 38,4236 \text{ m}$

Dari tabel perhitungan *shoaling* untuk nilai $d/L_o = 0,65$ diperoleh nilai $n = 0,5023$

$$K_s = 0,9975$$

$$H = H_o \cdot Kr \cdot K_s = 1,6709 \text{ m}$$

Tabel 4. Perhitungan *Shoaling*

Lo	L	Ks	Kr	H
38.423	38.440	0.997	1.0002	1.670
38.441	38.352	0.992	0.9988	1.655
38.503	37.930	0.974	0.9928	1.601
38.613	36.153	0.937	0.9731	1.461
38.091	30.017	0.912	0.9404	1.253
35.254	14.015	1.157	0.9364	1.358
36.9892	12.4008	1.2341	0.9906	1.2551

Perhitungan Gelombang Pecah

Perhitungan dilakukan dengan menggunakan menyatakan hubungan antara H'_o/gT^2 .

Tentukan nilai H'_o dan H_b

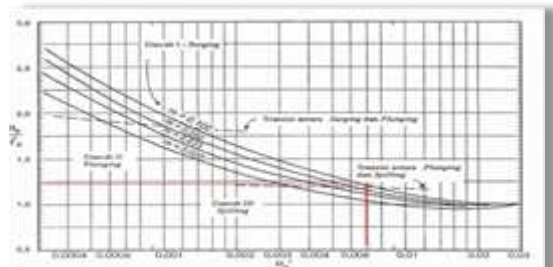
$$H_o = 1,6747 \text{ m}, \quad T_o = 4,9629 \text{ detik}$$

$$H = 1,6709 \text{ m}, \quad d/L_o = 0,6500, \text{ maka}$$

$$H'_o = H_o / (K_s), \quad = 1,6789 \text{ m}$$

sehingga didapat nilai, $H'_o/gT^2 = 0,0069$

Nilai H_b didapat dari hasil plot antara nilai $H'_o/gT^2 = 0,0069$ dan kemiringan pantai ($m = 0,0625$) pada grafik :

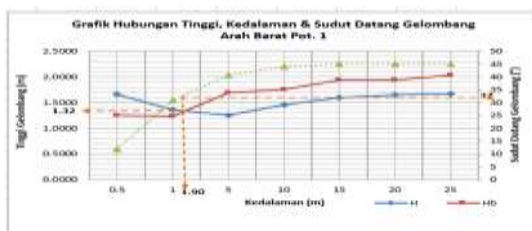


Gambar 8 Grafik Hubungan H'_o/gT^2 dan m

H'_o	H'_o/gT^2	M	Hb/H_o'	Hb
1.6789	0.0069	0.625	1.21	2.0315
1.6844	0.0070	0.526	1.15	1.9370
1.6989	0.0070	0.0400	1.14	1.9368
1.7084	0.0070	0.0286	1.03	1.7597
1.6013	0.0067	0.0238	1.06	1.6974
1.0831	0.0049	0.0133	1.14	1.2348
1.1010	0.0047	0.0125	1.14	1.2551

Tabel 5 Perhitungan Gelombang Pecah

Selanjutnya dibuat grafik hubungan tinggi, kedalaman dan sudut datang gelombang.

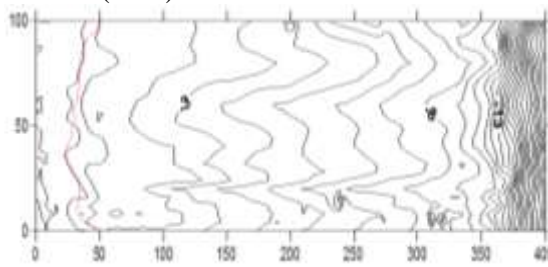


Gambar 9. Grafik Hubungan Tinggi, Kedalaman & Sudut Datang Gelombang Berdasarkan grafik hubungan tinggi, kedalaman, dan sudut datang gelombang maka diperoleh, gelombang Pecah pada kedalaman = 1,90 m

Model Perubahan Garis Pantai

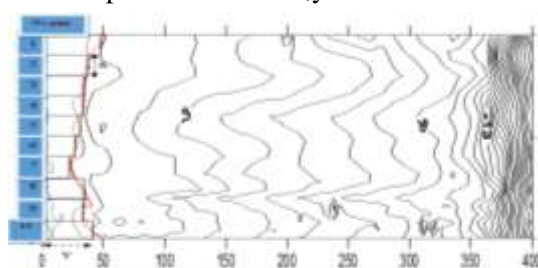
Model perubahan garis pantai dilakukan dengan urutan langkah berikut ini:

- 1) Tentukan bentuk garis pantai lama (awal)



Gambar 10 Penentuan Garis Pantai Awal

- 2) Bagi garis pantai dalam sejumlah sel. Pembagian pias di pantai Beo barat sepanjang daerah penelitian ini adalah 100 m dan di bagi menjadi 10 sel atau pias, dengan lebar (x) tiap pias adalah sama,yaitu 10m.



Gambar 11. Pembagian Garis Pantai

$$\begin{array}{ll} Y \text{ pias } 1 = 47,5 \text{ m} & Y \text{ pias } 6 = 27,5 \text{ m} \\ Y \text{ pias } 2 = 35 \text{ m} & Y \text{ pias } 7 = 25 \text{ m} \\ Y \text{ pias } 3 = 33 \text{ m} & Y \text{ pias } 8 = 38 \text{ m} \end{array}$$

$$\begin{array}{ll} Y \text{ pias } 4 = 32 \text{ m} & Y \text{ pias } 9 = 36,5 \text{ m} \\ Y \text{ pias } 5 = 29 \text{ m} & Y \text{ pias } 10 = 40 \text{ m} \\ X \text{ tiap pias } = 100/10 = 10 \text{ m} & \end{array}$$

- 3) Tentukan berbagai sumber sedimen dan sedimen yang hilang pada seluruh pias.
- 4) Hitung transport sedimen pada setiap pias berdasarkan tinggi dan periode gelombang serta sudut datang gelombang. Berikut contoh perhitungan di pias 1:

$$P_1 = \frac{\rho g}{8} H_b^2 C_b \sin \alpha_b \cos \alpha_b$$

Dimana:

$$\begin{array}{ll} P_1 & = \text{komponen fluks (Nm/d/m)} \\ \rho & = \text{rapat massa air laut (kg/m}^3\text{)} \\ H_b & = \text{tinggi gelombang pecah (m)} \\ C_b & = \text{cepat rambat gelombang pecah (m/d)} \\ d_b & = \text{kedalaman gelombang pecah} \\ \alpha_b & = \text{sudut datang gelombang pecah} \\ g & = \text{percepatan gravitasi} \end{array}$$

$$\begin{aligned} P_1 &= \frac{1,03}{8} 1,32^2 \times 18,639 \times 0,719 \times 0,694 \\ P_1 &= 2,08644 \text{ c(ton-m/hari/m)} \end{aligned}$$

Permodelan ini menggunakan rumus CERC.

$$Q_s = 0,401 \times P_1; Q_s = 0,1940 \text{ m}^3/\text{hari}$$

- 5) Hitung perubahan garis pantai yang telah terjadi sejak 10 tahun lalu hingga sekarang.

$$\Delta Y = -\frac{\Delta Q \Delta t}{d \Delta X}, \text{ di mana :}$$

ΔY = jarak garis pantai lama dan garis baru

ΔQ = besar transpor sedimen

Δt = waktu

X = absis searah panjang pantai

d = kedalaman gelombang pecah

$$\Delta Y = -36,7688, \quad Y_{akhir} = 47,5 - 36,7688, \\ Y_{akhir} = 10,7312 \text{ m}$$

Letak garis pantai baru diperoleh dengan pendekatan berada di titik 10,731 m ke arah garis pantai lama dihitung dari garis referensi (titik 0) pada saat pembagian pias

Bar	X	Z	Tan Z	Tan X	n ₀	Beta ₀	K ₀	P ₀	Q ₀	R ₀	Tan ₀	Nit
1	00	47,5	0,27	1,13388	46,00	0,7397	0,8942	0,4639	-0,3469	-0,71	0,1702	Gas
2	01	39	1,21	0,3464	61,14	0,9357	0,1219	0,1219	0,8477	0,9	0,32229	Gas
3	02	31	0,7	0,8922	41,0000	0,8074	0,7276	0,8324	0,3868	-0,72	0,37380	Gas
4	03	23	0,21	0,7718	37,7000	0,8207	0,7001	0,8688	-0,3770	-0,5000	0,38001	Gas
5	04	15	0,7	0,3769	46,0000	0,7397	0,8942	0,4639	-0,3469	-0,71	0,1702	Gas
6	05	07	0,21	0,8922	41,0000	0,8074	0,7276	0,8324	0,3868	0,9	0,32229	Gas
7	06	29	0,7	0,3464	61,14	0,9357	0,1219	0,1219	0,8477	0,9	0,32229	Gas
8	07	21	0,21	0,7718	37,7000	0,8207	0,7001	0,8688	-0,3770	-0,5000	0,38001	Gas
9	08	13	0,7	0,3769	46,0000	0,7397	0,8942	0,4639	-0,3469	-0,71	0,1702	Gas
10	09	05	0,21	0,8922	41,0000	0,8074	0,7276	0,8324	0,3868	0,9	0,32229	Gas
11	10	17	0,7	0,3464	61,14	0,9357	0,1219	0,1219	0,8477	0,9	0,32229	Gas
12	11	09	0,21	0,7718	37,7000	0,8207	0,7001	0,8688	-0,3770	-0,5000	0,38001	Gas
13	12	01	0,7	0,3769	46,0000	0,7397	0,8942	0,4639	-0,3469	-0,71	0,1702	Gas
14	13	13	0,21	0,8922	41,0000	0,8074	0,7276	0,8324	0,3868	0,9	0,32229	Gas
15	14	05	0,7	0,3464	61,14	0,9357	0,1219	0,1219	0,8477	0,9	0,32229	Gas
16	15	17	0,21	0,7718	37,7000	0,8207	0,7001	0,8688	-0,3770	-0,5000	0,38001	Gas
17	16	09	0,7	0,3769	46,0000	0,7397	0,8942	0,4639	-0,3469	-0,71	0,1702	Gas
18	17	01	0,21	0,8922	41,0000	0,8074	0,7276	0,8324	0,3868	0,9	0,32229	Gas
19	18	13	0,7	0,3464	61,14	0,9357	0,1219	0,1219	0,8477	0,9	0,32229	Gas
20	19	05	0,21	0,7718	37,7000	0,8207	0,7001	0,8688	-0,3770	-0,5000	0,38001	Gas
21	20	17	0,7	0,3769	46,0000	0,7397	0,8942	0,4639	-0,3469	-0,71	0,1702	Gas
22	21	09	0,21	0,8922	41,0000	0,8074	0,7276	0,8324	0,3868	0,9	0,32229	Gas
23	22	01	0,7	0,3464	61,14	0,9357	0,1219	0,1219	0,8477	0,9	0,32229	Gas
24	23	13	0,21	0,7718	37,7000	0,8207	0,7001	0,8688	-0,3770	-0,5000	0,38001	Gas
25	24	05	0,7	0,3769	46,0000	0,7397	0,8942	0,4639	-0,3469	-0,71	0,1702	Gas
26	25	17	0,21	0,8922	41,0000	0,8074	0,7276	0,8324	0,3868	0,9	0,32229	Gas
27	26	09	0,7	0,3464	61,14	0,9357	0,1219	0,1219	0,8477	0,9	0,32229	Gas
28	27	01	0,21	0,7718	37,7000	0,8207	0,7001	0,8688	-0,3770	-0,5000	0,38001	Gas
29	28	13	0,7	0,3769	46,0000	0,7397	0,8942	0,4639	-0,3469	-0,71	0,1702	Gas
30	29	05	0,21	0,8922	41,0000	0,8074	0,7276	0,8324	0,3868	0,9	0,32229	Gas
31	30	17	0,7	0,3464	61,14	0,9357	0,1219	0,1219	0,8477	0,9	0,32229	Gas
32	31	09	0,21	0,7718	37,7000	0,8207	0,7001	0,8688	-0,3770	-0,5000	0,38001	Gas
33	32	01	0,7	0,3769	46,0000	0,7397	0,8942	0,4639	-0,3469	-0,71	0,1702	Gas
34	33	13	0,21	0,8922	41,0000	0,8074	0,7276	0,8324	0,3868	0,9	0,32229	Gas
35	34	05	0,7	0,3464	61,14	0,9357	0,1219	0,1219	0,8477	0,9	0,32229	Gas
36	35	17	0,21	0,7718	37,7000	0,8207	0,7001	0,8688	-0,3770	-0,5000	0,38001	Gas
37	36	09	0,7	0,3769	46,0000	0,7397	0,8942	0,4639	-0,3469	-0,71	0,1702	Gas
38	37	01	0,21	0,8922	41,0000	0,8074	0,7276	0,8324	0,3868	0,9	0,32229	Gas
39	38	13	0,7	0,3464	61,14	0,9357	0,1219	0,1219	0,8477	0,9	0,32229	Gas
40	39	05	0,21	0,7718	37,7000	0,8207	0,7001	0,8688	-0,3770	-0,5000	0,38001	Gas
41	40	17	0,7	0,3769	46,0000	0,7397	0,8942	0,4639	-0,3469	-0,71	0,1702	Gas
42	41	09	0,21	0,8922	41,0000	0,8074	0,7276	0,8324	0,3868	0,9	0,32229	Gas
43	42	01	0,7	0,3464	61,14	0,9357	0,1219	0,1219	0,8477	0,9	0,32229	Gas
44	43	13	0,21	0,7718	37,7000	0,8207	0,7001	0,8688	-0,3770	-0,5000	0,38001	Gas
45	44	05	0,7	0,3769	46,0000	0,7397	0,8942	0,4639	-0,3469	-0,71	0,1702	Gas
46	45	17	0,21	0,8922	41,0000	0,8074	0,7276	0,8324	0,3868	0,9	0,32229	Gas
47	46	09	0,7	0,3464	61,14	0,9357	0,1219	0,1219	0,8477	0,9	0,32229	Gas
48	47	01	0,21	0,7718	37,7000	0,8207	0,7001	0,8688	-0,3770	-0,5000	0,38001	Gas
49	48	13	0,7	0,3769	46,0000	0,7397	0,8942	0,4639	-0,3469	-0,71	0,1702	Gas
50	49	05	0,21	0,8922	41,0000	0,8074	0,7276	0,8324	0,3868	0,9	0,32229	Gas
51	50	17	0,7	0,3464	61,14	0,9357	0,1219	0,1219	0,8477	0,9	0,32229	Gas
52	51	09	0,21	0,7718	37,7000	0,8207	0,7001	0,8688	-0,3770	-0,5000	0,38001	Gas
53	52	01	0,7	0,3769	46,0000	0,7397	0,8942	0,4639	-0,3469	-0,71	0,1702	Gas
54	53	13	0,21	0,8922	41,0000	0,8074	0,7276	0,8324	0,3868	0,9	0,32229	Gas
55	54	05	0,7	0,3464	61,14	0,9357	0,1219	0,1219	0,8477	0,9	0,32229	Gas
56	55	17	0,21	0,7718	37,7000	0,8207	0,7001	0,8688	-0,3770	-0,5000	0,38001	Gas
57	56	09	0,7	0,3769	46,0000	0,7397	0,8942	0,4639	-0,3469	-0,71	0,1702	Gas
58	57	01	0,21	0,8922	41,0000	0,8074	0,7276	0,8324	0,3868	0,9	0,32229	Gas
59	58	13	0,7	0,3464	61,14	0,9357	0,1219	0,1219	0,8477	0,9	0,32229	Gas
60	59	05	0,21	0,7718	37,7000	0,8207	0,7001	0,8688	-0,3770	-0,5000	0,38001	Gas
61	60	17	0,7	0,3769	46,0000	0,7397	0,8942	0,4639	-0,3469	-0,71	0,1702	Gas
62	61	09	0,21	0,8922	41,0000	0,8074	0,7276	0,8324	0,3868	0,9	0,32229	Gas
63	62	01	0,7	0,3464	61,14	0,9357	0,1219	0,1219	0,8477	0,9	0,32229	Gas
64	63	13	0,21	0,7718	37,7000	0,8207	0,7001	0,8688	-0,3770	-0,5000	0,38001	Gas
65	64	05	0,7	0,3769	46,0000	0,7397	0,8942	0,4639	-0,3469	-0,71	0,1702	Gas
66	65	17	0,21	0,8922	41,0000	0,8074	0,7276	0,8324	0,3868	0,9	0,32229	Gas
67	66	09	0,7	0,3464	61,14	0,9357	0,1219	0,1219	0,8477	0,9	0,32229	Gas
68	67	01	0,21	0,7718	37,7000	0,8207	0,7001	0,8688	-0,3770	-0,5000	0,38001	Gas
69	68	13	0,7	0,3769	46,0000	0,7397	0,8942	0,4639	-0,3469	-0,71	0,1702	Gas
70	69	05	0,21	0,8922	41,0000	0,8074	0,7276	0,8324	0,3868	0,9	0,32229	Gas
71	70	17	0,7	0,3464	61,14	0,9357	0,1219	0,1219	0,8477	0,9	0,32229	Gas
72	71	09	0,21	0,7718	37,7000	0,8207	0,7001	0,8688	-0,3770	-0,5000	0,38001	Gas
73	72	01	0,7	0,3769	46,0000	0,7397	0,8942	0,4639	-0,3469	-0,71	0,1702	Gas
74	73	13	0,21	0,8922	41,0000	0,8074	0,7276	0,8324	0,3868	0,9	0,32229	Gas
75	74	05	0,7	0,3464	61,14	0,9357	0,1219	0,1219	0,8477	0,9	0,32229	Gas
76	75	17	0,21	0,7718	37,7000	0,8207	0,7001	0,8688	-0,3770	-0,5000	0,38001	Gas
77	76	09	0,7	0,3769	46,0000	0,7397	0,8942	0,4639	-0,3469	-0,71	0,1702	Gas
78	77	01	0,21	0,8922	41,0000	0,8074	0,7276	0,8324	0,3868	0,9	0,32229	Gas
79	78	13	0,7	0,3464	61,14	0,9357	0,1219	0,1219	0,8477	0,9	0,32229	Gas
80	79	05	0,21	0,7718	37,7000	0,8207	0,7001	0,8688	-0,3770	-0,5000	0,38001	Gas
81	80	17	0,7	0,3769	46,0000	0,7397	0,8942	0,4639	-0,3469	-0,71	0,1702	Gas
82	81	09	0,21	0,8922	41,0000	0,8074	0,7276	0,8324	0,3868	0,9	0,32229	Gas
83	82	01	0,7	0,3464	61,14	0,9357</td						